

ORIGINAL ARTICLE

Performance Evaluation of Magnetized Multiwall Carbon Nanotubes by Iron Oxide Nanoparticles in Removing Fluoride from Aqueous Solution

Mojtaba Yegane badi¹,

Ali Azari²,

Ali Esrafil³,

Ehsan Ahmadi²,

Mitra Gholami⁴

¹ MSc Student in Environmental Health Engineering, School of Environmental Health, Iran University of Medical Sciences, Tehran, Iran

² PhD Student in Environmental Health Engineering, School of Environmental Health, Tehran University of Medical Sciences, Tehran, Iran

³ Assistant Professor, Department of Environmental Health Engineering, School of Environmental Health, Iran University of Medical Sciences, Tehran, Iran

⁴ Associate Professor, Department of Environmental Health Engineering, School of Environmental Health, Iran University of Medical Sciences, Tehran, Iran

(Received March 9, 2015 ; Accepted May 23, 2015)

Abstract

Background and purpose: Contamination of drinking water with fluoride due to natural and human activities is a serious problem that threatens human health. Long-term and excessive consumption of water containing fluoride could lead to endocrine glands diseases and Alzheimer's disease. Adsorption process is an effective and popular method for removal of fluoride, so the purpose of this research was magnetizing multiwall carbon nanotubes with nano iron oxide and using it as an adsorbent for fluoride removal from aqueous solution.

Materials and methods: Co-precipitation method used for synthesized magnetic nano composite and its characteristics were investigated by SEM, TEM, XRD and VSM techniques. The effect of independent variables such as contact time, pH, temperature, adsorbent dose and initial concentration on fluoride removal was analyzed by response surface methodology (box-Behnken design method) and ANOVA.

Results: The optimum condition was obtained at pH= 3, 2g/L sorbent dosage in 2h contact time and 45°C temperature. Isotherms and kinetics results showed that the Langmuir model and pseudo-second order were correlated by data with $R^2 > 0.98$ and $R^2 > 0.941$, respectively. Thermodynamic values revealed that fluoride adsorption process was endothermic and spontaneous.

Conclusion: In this study synthesized adsorbent was found efficient in fluoride removal (98.5% adsorption in optimal condition) and due to magnetic ability it can be easily separated from the samples by an external magnet. Therefore, it can be applied in removal of fluoride from drinking water.

Keywords: Adsorption, magnetic multiwall carbon nanotubes, iron oxide nanoparticles, fluoride, response surface model

بررسی کارایی نانولوله‌های کربنی چند جداره مغناطیسی شده با نانو ذرات اکسید آهن در حذف فلوراید از محلول‌های آبی

مجتبی یگانه بادی^۱

علی آذری^۲

علی اسرافیلی^۳

احسان احمدی^۲

میترا غلامی^۴

چکیده

سابقه و هدف: آلوده شدن آب‌های آشامیدنی به فلوراید بر اثر فعالیت‌های طبیعی و انسانی تهدیدی برای سلامت انسان‌ها است. مصرف طولانی مدت و زیاد آب حاوی فلوراید منجر به آسیب غدد درون ریز و بیماری آلزایمر می‌شود. فرایند جذب یک روش موثر در حذف فلوراید است، لذا هدف از این تحقیق مغناطیسی کردن کربن نانولوله چند جداره با نانو ذرات اکسید آهن و استفاده از آن به عنوان جاذب در حذف فلوراید از محیط آبی می‌باشد.

مواد و روش‌ها: روش هم ترسیبی به منظور سنتز نانو کامپوزیت مغناطیسی مورد استفاده قرار گرفت و خصوصیات آن با آنالیزهای SEM، TEM و VSM بررسی شد. تاثیر پارامترهای مستقل مانند زمان تماس، pH، دما، مقادیر جاذب و غلظت اولیه بر درصد حذف فلوراید با روش سطح پاسخ (روش باکس بانکن) و با استفاده از آنالیز واریانس مورد ارزیابی قرار گرفت.

یافته‌ها: pH برابر با ^۳، میزان جاذب ^۲ گرم در لیتر در زمان تماس ^۲ ساعت و دمای ^{۴۵} درجه سلسیوس به عنوان شرایط بهینه به دست آمد. بررسی روابط ایزوترم و سینتیک نشان داد داده‌های تجربی به ترتیب با ضرایب ^{۰/۹۸} و ^{۰/۹۴۱} با مدل لانگمویر و سینتیک شبه درجه دو همبستگی دارند. مطالعه ترمودینامیک نیز بیانگر انجام یک واکنش گرم‌ماگیر و خود به خودی می‌باشد.

استنتاج: جاذب سنتز شده راندمان مناسبی در حذف فلوراید دارا بوده (^{۹۸/۵} درصد جذب در شرایط بهینه) و به دلیل خاصیت مغناطیسی می‌تواند به سادگی به وسیله آهن‌ربای خارجی از نمونه جداسازی شود، بنابراین می‌تواند به سادگی برای حذف فلوراید از آب آشامیدنی استفاده شود.

واژه‌های کلیدی: جذب سطحی، کربن نانولوله چند جداره مغناطیسی، نانو ذرات اکسید آهن، فلوراید، مدل سطح پاسخ

مقدمه

گیاهان یافت می‌گردد^(۱). فلوراید یک عنصر طبیعی در میان مواد معدنی است که می‌تواند از طریق آشامیدن

فلوئور الکترونگاتیو ترین و فعال‌ترین عنصر جدول تناوبی می‌باشد که در مقادیر مختلفی در آب، خاک و

E-mail: gholamimitra32@gmail.com

مولف مسئول: میترا غلامی - تهران: بزرگراه همت، دانشگاه علوم پزشکی ایران، دانشکده بهداشت

۱. دانشجوی کارشناسی ارشد مهندسی بهداشت محیط، دانشکده بهداشت محیط، دانشگاه علوم پزشکی ایران، تهران، ایران

۲. دانشجوی دکترای مهندسی بهداشت محیط، دانشکده بهداشت محیط دانشگاه علوم پزشکی تهران، تهران، ایران

۳. استادیار، گروه مهندسی بهداشت محیط، دانشکده بهداشت محیط، دانشگاه علوم پزشکی ایران، تهران، ایران

۴. دانشیار، گروه مهندسی بهداشت محیط، دانشکده بهداشت محیط، دانشگاه علوم پزشکی ایران، تهران، ایران

تاریخ دریافت: ۱۳۹۳/۱۲/۱۸ تاریخ ارجاع جهت اصلاحات: ۱۳۹۴/۱/۱۹ تاریخ تصویب: ۱۳۹۴/۳/۲

الکتروکواگالاسیون برای حذف فلوراید مورد استفاده قرار گرفته است(۱۵،۱۶). هریک از روش‌های مذکور دارای معایبی هستند که استفاده از آن‌ها را محدود می‌کند. هزینه بالا، پیچیدگی راهبری در کشورهای در حال توسعه، تولید زیاد لجن، ظرفیت جذب پایین، نیاز به پیش تصفیه آب و روودی با اسید و بالا رفتن سولفات در آب تصفیه شده از بارزترین معایب روش‌های به کار رفته شده در حذف فلوراید می‌باشد(۱۷). محققان زیادی در مطالعات خود به این نتیجه رسیده‌اند که فرایند جذب به دلیل هزینه پایین، سادگی در بهره‌برداری و راندمان مناسب، نتایج رضایت‌بخشی را در حذف این آلاینده به همراه داشته است(۱۲،۱۸،۱۹). در بین جاذب‌های مورد استفاده کربن نانو لوله چند جداره به دلیل داشتن سطح بالا نسبت به حجم و هم‌چنین ظرفیت جذب بالا به طور گستردگی در حذف آلاینده‌های مختلف مورد استفاده قرار می‌گیرد. اصلی‌ترین محدودیت در زمینه استفاده از کربن نانو لوله چند جداره به عنوان جاذب، جداسازی دشوار آن به دلیل اندازه کوچک است. تا کنون روش‌های مختلفی مانند سانتریفیوژ و استفاده از فیلتراسیون به منظور جداسازی این جاذب مورد استفاده قرار گرفته است. با توجه به این موضوع که روش‌ها مذکور نیازمند صرف هزینه و انثربالایی هستند، استفاده از مغناطیسی کردن این گونه از جاذب‌ها به شکل گستردگی توسط محققان پیشنهاد شده است. به همین منظور در مطالعه حاضر برای تسهیل و تسریع در جداسازی کربن نانو لوله چند جداره بعد از فرایند جذب، از نانو ذرات اکسید آهن برای مغناطیسی کردن جاذب استفاده شد. بازیابی جاذب، ایجاد پساب شفاف و بدون آلودگی ثانویه از دیگر مزایای جداسازی کربن نانو لوله چند جداره مغناطیسی توسط آهن رباتی خارجی است(۲۰). در ادامه، از روش سطح پاسخ (Response surface methodology: RSM) بر مبنای Box-Benken جهت ارزیابی اثر متغیرهای مستقل بر عملکرد پاسخ (راندمان حذف فلوراید) و نیز تعیین

یا تغذیه از گیاهان وارد بدن شود(۲). این ماده به طور گستردگی در زمین توزیع(۳) و از طریق اتحال سنگ‌های حاوی فلوراید در آب‌های زیرزمینی منتشر می‌گردد(۴). ترکیب این آلاینده با یون‌های مانند آرسنیک و نیترات می‌تواند مشکلات حاصل از فلوراید را به شکل چشم‌گیری افزایش دهد(۵). ترکیبات فلوراید در کارخانه‌های مختلفی از جمله ذوب آهن، شیشه سازی و فرآورده‌های دارویی مانند خمیر دندان و دهان شویه‌ها مورد استفاده قرار می‌گیرد(۱). سازمان حفاظت محیط زیست آمریکا حد بهینه غلظت فلوراید را در آب 0.7 mg/L تعیین نموده، در حالی که سازمان بهداشت جهانی (World Health Organization WHO) حد مجاز این عنصر را 1.5 mg/L توصیه کرده است(۶). با توجه به غلظت و مدت زمان جذب، تاثیر فلوراید در آب آشامیدنی می‌تواند برای انسان‌ها مفید یا مضر باشد. مصرف فلوراید در محدوده اعلام شده توسط سازمان بهداشت جهانی می‌تواند مانع از پوسیدگی دندان‌ها شده و استحکام استخوان‌ها را افزایش دهد(۷،۸). این موضوع در حالی است که استفاده بیش از حد این ماده سبب بیماری‌های مختلفی از جمله لکه دار شدن دندان‌ها، آسیب به غدد درون ریز، تیروئید، کبد، نرم شدن استخوان‌ها، استخوانی شدن تاندون‌ها و رباط‌ها، کاهش فضای داخلی بین ستون فقرات و از بین رفتن قدرت اختیار، ناباروری در زنان، آلزایمر و آسیب‌های مغزی می‌شود(۹،۱۲). علاوه بر موارد فوق تحقیقات اخیر نشان داده است که فلوراید ممکن است در سنتر DNA تداخل ایجاد کند(۱۳). مشکلات فلوراید در جوامع روستایی و شهرهای کوچک و به ویژه در کشورهای جهان سوم حادتر است(۱۴). تاکنون روش‌های زیادی نظیر ترسیب شیمیایی به وسیله نمک‌های کلسیم و آلومینیوم، جذب به وسیله آلومینای فعال، زغال چوب، خاکستر، استفاده از گرانول تری کلسیم فسفات، رزین‌های تبادل یونی، فرآیند غشاپی نظیر نانو فیلتراسیون و روش‌های حذف فیزیکی (اسمز معکوس و الکترودیالیز) و

۲-۲- سنتر کربن نانو لوله چند جداره مغناطیسی شده با اکسید آهن و ویژگی های آن در مطالعه حاضر برای سنتز کربن نانو لوله چند جداره مغناطیسی شده با اکسید آهن از روش هم ترسیبی استفاده شد (۲۶) ابتدا 100cc اسید نیتریک $63/1$ درصد به 10 گرم کربن نانو لوله چند جداره اضافه و به مدت 30 دقیقه در دمای بالا روی شیکر با دور همزن 200 rpm قرار داده شد. این کار سبب افزایش تخلخل و فعال شدن کربن نانو لوله چند جداره خواهد شد. جهت از بین بردن حالت اسیدی، کربن نانو لوله چند جداره چندین بار با آب مقطر شست و شو شده و توسط آون در دمای 80 درجه سلسیوس خشک گردید. در گام بعدی جهت نشاندن نانو ذرات اکسید آهن بر روی کربن نانو لوله چند جداره اضافه شد. مخلوط حاصل به مدت 30 دقیقه در حمام اولتراسونیک قرار گرفت تا به صورت کاملاً هموژن در آید، سپس 50 سی سی آمونیاک 25 درصد به آرامی به آن اضافه شد تا عمل هم ترسیبی نانو ذرات اکسید آهن بر سطح کربن نانو لوله چند جداره انجام گیرد. لازم به ذکر است تمام مراحل در حضور گاز ازت انجام گردید.

در این مطالعه مورفولوژی سطح جاذب، شکل و اندازه نانو ذرات مغناطیسی به وسیله میکروسکوپ (Scanning Electron Microscopy SEM) و میکروسکوپ الکترونی انتقال (Transmission Electron Microscopy TEM) فیلیپس EM ۲۰۸ بررسی شد. برای تعیین الگوی پراش اشعه ایکس و تعیین خلوص نانو ذرات تولیدی از دستگاه پراش اشعه ایکس (X-ray Diffraction) مدل Quantachrome، NOVA ۲۰۰۰ مغناطیسی کربن نانو لوله چند جداره مغناطیسی شده نیز با استفاده از دستگاه مغناطیسی سنج

بهترین مقدار پاسخ استفاده شد. روش سطح پاسخ به مجموعه‌ای از روش‌های آماری برای مدل سازی و تحلیل مسائلی گفته می‌شود که در آن پاسخ مورد نظر تابعی از چندین متغیر است. هدف از به کارگیری این روش بهینه نمودن پاسخ با کمترین تعداد نمونه و هزینه می‌باشد (۲۱). در مجموع می‌توان اذعان داشت که هدف از این پژوهش، بررسی و بهینه سازی جذب فلوراید با استفاده از کربن نانو لوله چند جداره مغناطیسی شده با نانو ذرات اکسید آهن با استفاده از مدل RSM می‌باشد.

مواد و روش‌ها

مطالعه حاضر از نوع تجربی - کاربردی می‌باشد که در آن عملکرد نانو ذرات مغناطیسی اکسید آهن - کربن نانو لوله چند جداره به عنوان یک جاذب در حذف فلوراید در مقایس آزمایشگاهی مورد بررسی قرار گرفته است.

۱-۲- مواد و تجهیزات

مواد شیمیایی مورد نیاز در این مطالعه، شامل هگزا کلرید فریک ($\text{FeCl}_3 \cdot 6\text{H}_2\text{O}$)، تترا کلرید آهن ($\text{FeCl}_4 \cdot 4\text{H}_2\text{O}$)، سدیم فلوراید (NaF)، اسید نیتریک (HNO_3)، آمونیاک و کربن نانو لوله چند جداره می‌باشند. مواد مورد استفاده از شرکت مرک آلمان با رتبه آنالیزی (analytical grade) تهیه شد. آب مقطر در تمام آزمایشات مورد استفاده قرار گرفت. به منظور تعیین غلظت‌های باقیمانده فلوراید از اسپکتروفوتومتری UV-Visible مدل ۷۴۰۰ CE CECIL و برای تعیین pH محلول‌ها از pH متر مدل HACH-HQ-USA استفاده شد. برای جداسازی مغناطیسی جاذب از محلول نیز از یک آهن ریا با شدت مغناطیسی $1/3$ تسلی استفاده شد. برای ثبات دما از شیکر انکوباتور (Shaker Incubator) مدل n-BioTEK NB-205 استفاده شد که علاوه بر قدرت اختلاط توانایی تنظیم دما را نیز دارد.

1. Transmission Electron Microscopy (TEM)

می باشد (۲۰). نوع فرایند جذب براساس مدل لانگمیر و با استفاده از مقادیر فاکتور بدون بعد R_L مشخص شد، به طوری که مقادیر $1 > R_L > 0$ جذب نامطلوب، $R_L = 1$ جذب خطی، $R_L = 0$ جذب برگشت ناپذیر و $R_L < 0$ جذب مطلوب را نشان می دهد (۲۲، ۲۳). در این مطالعه از معادلات سینتیک شبه درجه اول و شبه درجه دوم برای آنالیز داده های آزمایش استفاده شدند (۲۴-۲۵).

۲-۶ ترمودینامیک جذب فلوراید
جهت بررسی ترمودینامیک فرآیند جذب از رابطه زیر استفاده گردید:

$$\Delta G = -RT(\ln K_c) \quad (1)$$

در رابطه فوق ΔG° بیان کننده انرژی آزاد گیبس بر حسب کیلوژول بر مول، R ثابت جهانی گازها ($8/314J/mol.K$) و T نشان دهنده دمای مطلق بر حسب کلوین است. برای محاسبه پارامترهای آنتالپی استاندارد (ΔH°)، آنتروپی استاندارد (ΔS°) در فرآیند جذب از روابط زیر استفاده شد:

$$\ln k_c = \frac{\Delta S^\circ}{R} - \frac{\Delta H^\circ}{RT} \quad (2)$$

$$K_c = \frac{q_e}{C_e} \quad (3)$$

k_c (L/g) نسبت مقدار ماده جذب شده روی جاذب (mg/g) به مقدار باقی مانده آن در محلول (mg/L) می باشد. جهت تعیین پارامترهای ترمودینامیکی فرایند از منحنی $\ln k_c$ در مقابل $1/T$ استفاده شد. شبیه خط حاصل، نشان دهنده مقدار ΔH° بر حسب کیلوژول بر مول و عرض از مبدأ نشان دهنده پارامتر ΔS° بر حسب کیلوژول بر مول است.

۷-۲ بهینه سازی فرآیند جذب با روش سطح پاسخ (RSM)

بررسی اثرات پنج متغیر pH، غلظت آلاینده، دوز جاذب، دما و زمان، بر اساس روش سطح پاسخ بر مبنای طراحی Box-Behnken به روش ویسی و همکاران

لرزشی (vibrating sample magnetometer) مدل (Lakeshare Company, USA ۷۴۰۰) آنالیز شد.

۳-۲ روش اجرای مطالعه

در ابتدا محلول ذخیره ۱۰۰۰ میلی گرم در لیتر فلوراید (استوک) با استفاده از آب دوبار تقطیر تهیه و سپس با رقیق سازی آن، محلول های با غلظت ۲ تا ۱۰ میلی گرم در لیتر ساخته شد. کلیه آزمایشات در محیط بسته و در ارلن با غلظت های مختلفی از فلوراید به همراه مقادیر معینی از جاذب در pH، دما و زمان های مختلف انجام شد. pH محلول ها توسط اسید سولفوریک و سود رقیق تنظیم گردید. سپس محلول ها روی هم زن با دور ۲۰۰ دور در دقیقه قرار گرفته و پس از زمان مشخص، جاذب به وسیله آهنربای خارجی از محلول جدا و غلظت های باقیمانده آلاینده با استفاده از دستگاه اسپکتروفوتومتری در طول موج ۵۸۰ نانومتر سنجش شد.

۴-۲ تعیین شرایط بهینه جذب فلوراید روی نانوذرات مغناطیسی اکسید آهن - کربن نانولوله چند جداره شرایط بهینه جذب با بررسی تأثیر پارامترهای مهم فرایند جذب نظیر pH، زمان تماس، غلظت اولیه فلوراید، دز جاذب و دما تعیین شد. ابتدا تأثیر pH محلول بر جذب فلوراید در محدوده ۳ تا ۹ بررسی و pH بهینه تعیین شد. پس از تعیین pH بهینه، تأثیر زمان تماس در غلظت های اولیه مختلف آلاینده مطالعه شد. در مرحله بعد با استفاده از pH و زمان تماس بهینه، تأثیر دو فاکتور، غلظت های اولیه فلوراید و دزهای مختلف جاذب بر فرآیند جذب مورد بررسی قرار گرفت.

۵-۲ ایزوترم و سینتیک جذب

در این پژوهش از مدل های ایزوترم جذب لانگمیر و فرونالیچ برای مدل سازی ریاضی فرآیند جذب فلوراید استفاده شد. مدل ایزوترم لانگمیر بر مبنای جذب یک لایه ای و یکنواخت (همگن) ماده جذب شونده با انرژی یکسان بر تمام سطوح روی جاذب

شده آن با اکسید آهن نشان می‌دهند. در الگوی a پیک ایجاد شده در زاویه 25° مربوط به کربن موجود در ساختار کربن نانو لوله بوده که در نوع مغناطیسی هم این پیک در زاویه مذکور دیده می‌شود. در الگوی پراش اشعه ایکس b پیک ایجاد شده در زوایای $35/4^{\circ}$ بر اساس پروتکل استاندارد 19- PDF JCPDS card No. 0629 0629 حضور ذرات اکسید آهن را در ساختار کربن نانو لوله تایید می‌کند، لذا این آنالیز نشان می‌دهد که به طور موفقیت آمیزی نانو ذرات اکسید آهن سنتز و روی VSM کربن نانو لوله دو دیواره نشانده شده است. آنالیز برای جاذب سنتز شده (کربن نانو لوله چند جداره مغناطیسی) تحت دمای اتاق (25°C) در محدوده میدان مغناطیسی $\pm 8 \text{ KOe}$ و در محدوده مغناطیسی اشباع (Saturation Magnetization) $\pm 8 \text{ emu/g}$ انجام شد و در شکل شماره (1-ج) نشان داده شده است. نتایج آنالیز فوق نشان داد که ماکریزم مقدار مغناطیسی اشباع برای کربن نانو لوله چند جداره مغناطیسی شده با آهن $6/76 \text{ emu/g}$ است، بنابراین می‌توان گفت که جاذب سنتز شده در این مطالعه از خاصیت مغناطیسی بسیار خوبی به منظور جداسازی مغناطیسی برخوردار بوده است. در شکل شماره (1-د) اندازه و شکل نانو ذره فلزی Fe_3O_4 نشانده شده روی کربن نانو لوله چند جداره به وسیله میکروسکوپ الکترونی انقالی (TEM) در 90 keV مطالعه شد. در این تصاویر مشاهده می‌شود که نانوذرات اکسید آهن دارای ساختاری چند ضلعی مانند (Polygon) بوده و به شکل غیر یکنواخت در سطح و بخش‌های داخلی MWCNT قرار گرفته‌اند. میانگین اندازه ذرات در این آنالیز محدوده‌ای مابین 30 تا 100 نانومتر را نشان می‌دهد که موید اندازه تعیین شده توسط انالیز SEM است. به منظور تایید تشکیل اکسید آهن در ساختار جاذب مورد مطالعه از آنالیز FTIR استفاده شد. تصویر شماره ۲ A و B به ترتیب نشان دهنده نانو لوله‌های کربنی چند جداره و نانولوله‌های کربنی چند جداره

طراحی و انجام گرفت (۲۶). در جدول شماره ۱ متغیرهای مستقل و محدوده و سطوح مقادیر تجربی آن‌ها آورده شده است. در این مطالعه مجموع آزمایشات در روش طراحی Box-Behnken برابر با 43 آزمایش شد. با استفاده از معادله زیر، بازده جذب و ظرفیت حذف فلوراید به دست آمد (۲۷):

$$E = \frac{C_0 - C}{C_0} \times 100 \quad (4)$$

$$q = (C_0 - C_e) \times \frac{V}{M} \quad (5)$$

C_0 برابر با غلظت اولیه و C برابر با تعادلی فلوراید بعد از جذب سطحی، E راندمان حذف فلوراید، M جرم جاذب در محلول (mg/l) و V حجم محلول می‌باشد.

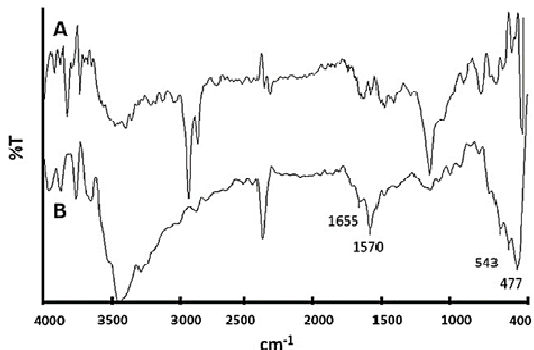
جدول شماره ۱: متغیرهای مستقل و محدوده و سطوح مقادیر تجربی آن‌ها

متغیر	+1	۰	-1	نماد
pH محلول	۹	۶	۳	A
زمان تماس (min)	۱۲۰	۶۰	۵	B
دما (°C)	۴۵	۳۵	۲۵	C
دوز جاذب (g/l)	۲	۱/۲۵	۰/۵	D
غلظت فلوراید (mg/l)	۱۰	۶	۲	E

یافته‌ها

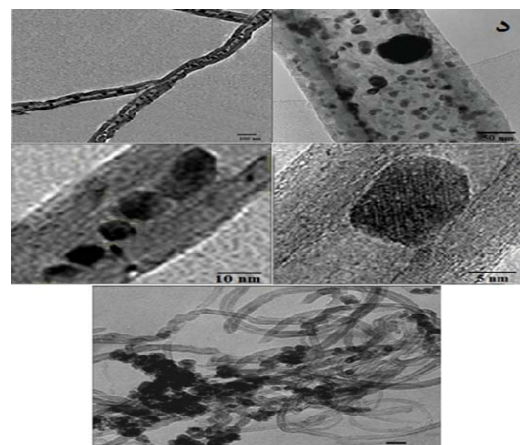
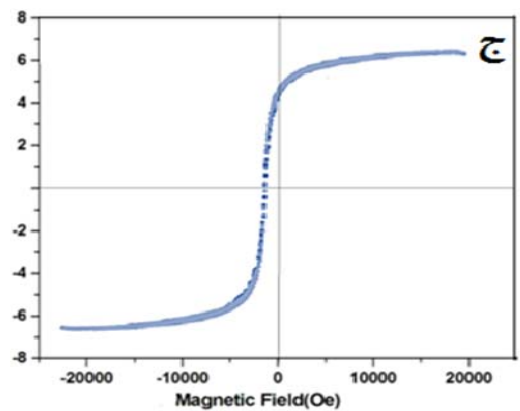
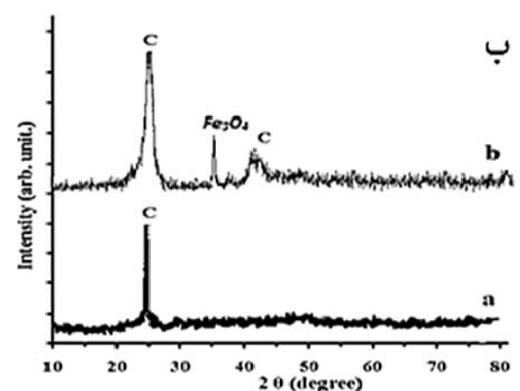
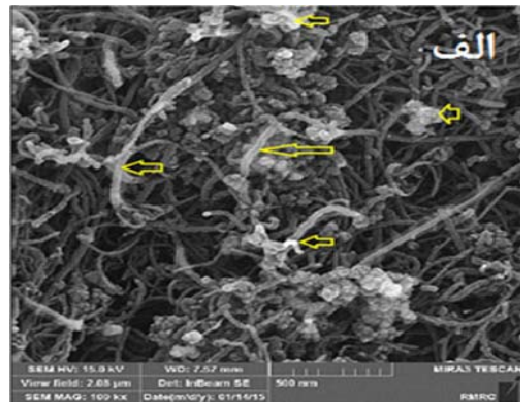
۱-۳-ویژگی‌های نانوذرات مغناطیسی در تصویر شماره (۱-الف) تصاویر مربوط به آنالیز میکروسکوپ الکترونی روبشی (SEM) برای کربن نانو لوله چند جداره مغناطیسی شده با آهن در 15 keV نشان داده شده است. در این تصویر جاذب سنتز شده به صورت لوله‌های در هم پیچیده و با با قطر متوسط 80 nm نمایان است. ذرات سفید و براق در تصویر شماره (۱-الف) نشان دهنده ذرات اکسید آهن در سطح کربن نانو لوله چند جداره می‌باشد. در تصویر شماره (۱-ب) پراش اشعه ایکس برای $\text{MWCNT-Fe}_3\text{O}_4$ در محدوده زاویه $10=20^{\circ}$ ارایه شده است. در این تصویر الگوی a و b پراش اشعه ایکس را به ترتیب برای کربن نانو لوله چند جداره (غیر مغناطیسی) و نوع مغناطیسی

بهینه شده با ذرات نانو ذرات اکسید آهن است. به صورت خلاصه پیک های ایجاد شده در محدوده $477\text{--}630\text{ Cm}^{-1}$ نشان دهنده باند Fe-O و موید حضور نانو Fe_3O_4 در ساختار جاذب سنتر شده می باشد. پیک ایجاد شده در محدوده $3300\text{--}3500\text{ Cm}^{-1}$ تا $3500\text{--}3700\text{ Cm}^{-1}$ نشان دهنده حضور گروه هیدرو کسیل در روی سطح نانو کامپوزیت است که می تواند به دلیل جذب آب های اتمسفری (بخار آب موجود در هوا) توسط جاذب یا گروه هیدرو کسیل موجود در ساختار کربو کسیل باشد. پیک های ایجاد شده در 1570 Cm^{-1} و 1655 Cm^{-1} نشان دهنده حضور باند $\text{C}=\text{C}$ می باشد که مربوط به ساختار نانو لوله کربنی می باشد. دو پیک ایجاد شده در 2854 Cm^{-1} و 2920 Cm^{-1} مربوط به باند شدن H-C می باشد که در تصویر A دارای شدت بیشتری است ولی در شکل B کاهش یافته است.



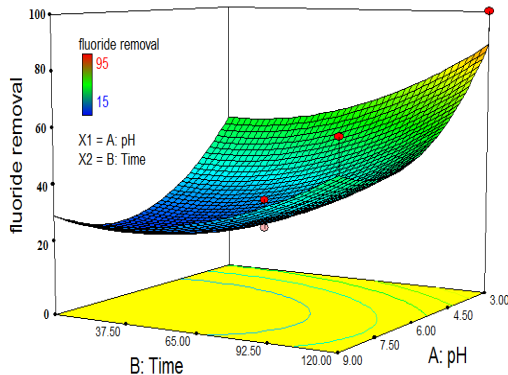
تصویر شماره ۲: طیف FTIR (A) نanolوله های کربنی چند جداره، (B) نanolوله های کربنی چند جداره بهینه شده با نانو ذرات اکسید آهن

حقوقان در بررسی های خود بر این موضوع اذعان داشته اند که pH_{pc} از عوامل مهم و تاثیر گذار روی بار جاذب می باشد که ارتباط معنی داری با pH محلول دارد. بر این اساس هنگامی که $\text{pH} < \text{pH}_{\text{pc}}$ باشد بار سطحی جاذب مثبت شده و زمانی که $\text{pH} > \text{pH}_{\text{pc}}$ باشد ما شاهد این موضوع هستیم که باز جاذب منفی می گردد. همان گونه که در تصویر شماره ۳ مشاهده می شود pH_{pc} معادل $3/87$ به دست آمده است. در



تصویر شماره ۱: تصویر میکروسکوپ الکترونی رویشی (SEM) (الف)، الگوی پراش اشعه ایکس (XRD) (ب)، آنالیز VSM (ج)، آنالیز TEM (د)

تصویر شماره ۴ مشاهده می‌شود، با افزایش زمان تماس راندمان جذب افزایش یافته است.

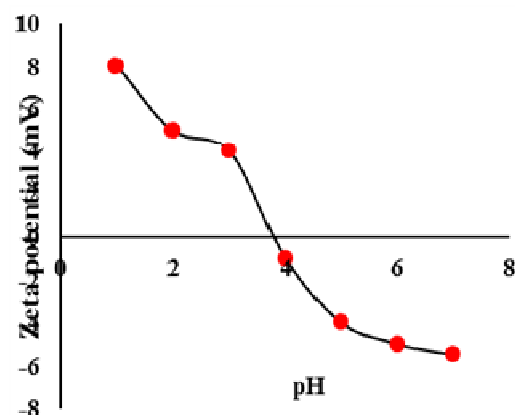


تصویر شماره ۴: تاثیر pH و تاثیر زمان تماس بر کارایی حذف فلوراید با غلظت ۶ میلی گرم در لیتر توسط ۲ گرم در لیتر جاذب

۳-۴- تاثیر دما
به منظور بررسی تاثیر دما بر حذف فلوراید بوسیله جاذب سنتز شده، سه دمای ۲۵، ۳۵ و ۴۵ °C انتخاب شد. تنظیم دما به وسیله شیکر انکوباتور انجام گرفت. نتایج حاصل از بررسی تاثیر دما بر روی کارایی حذف فلوراید در تصویر شماره ۵ نشان داده شده است. همان‌طور که مشاهده می‌شود، افزایش دما باعث افزایش میزان جذب فلوراید گردیده و بیشترین میزان حذف فلوراید در دمای ۴۵ °C و کمترین مقدار حذف آن در دمای ۲۵ °C حاصل شده است.

۳-۵- اثر دوز جاذب
در این مرحله اثر دوز جاذب (۰/۵-۲g/lit) بر روی حذف فلوراید مورد بررسی قرار گرفت. همان‌گونه که در تصویر شماره ۵ مشاهده می‌شود، افزایش در دوز جاذب سبب افزایش چشمگیری در میزان حذف فلوراید شده است. بیشترین میزان حذف فلوراید در مقدار جاذب ۲ گرم بر لیتر مشاهده شد. بنابراین در کلیه آزمایشات میزان ۲ گرم در لیتر به عنوان دوز بهینه انتخاب گردید.

نتیجه می‌توان گفت بار سطحی جاذب سنتز شده در pHzc مکمتر از ۳/۸۷ به صورت مثبت می‌باشد و در مقادیر بالاتر از ۳/۸۷ سطح جاذب بار منفی دارد. با توجه به این موضوع که pHzc بهینه برای حذف فلوراید معادل ۳ بست آمد و این مقدار کمتر از pHzc است می‌توان گزارش کرد که سطح جاذب دارای بار مثبت است. مثبت بودن بار سطحی جاذب و منفی بودن بار یون فلوراید سبب افزایش راندمان به دلیل جذب الکترواستاتیکی خواهد شد.



تصویر شماره ۳: pHzc

۳-۶- اثر pH محلول
در مطالعه حاضر pH محلول در دامنه ۳ تا ۹ بررسی شد. از محلول‌های ۰/۱N NaOH و ۰/۱N HNO3 به منظور تنظیم شرایط مورد بررسی استفاده شد. شکل شماره ۴ نشان می‌دهد که حداکثر بازدهی جذب فلوراید در pH برابر ۳ و کمترین مقدار جذب فلوراید مربوط به pH برابر ۹ است. بنابراین برای تمام آزمایشات بعدی، pH = ۳ انتخاب و گزارش شد.

۳-۷- اثر زمان تماس
تاثیر زمان تماس در فرایند جذب فلوراید توسط جاذب سنتز شده محدوده ۰ تا ۱۲۰ دقیقه مورد بررسی قرار گرفت و نتایج در تصویر شماره ۴ نمایش داده شد. شکل مذکور نشان داد که فرایند جذب فلوراید در ۱۲۰ دقیقه به بالاترین حد خود رسیده است. همان‌طور که در

می باشد(۲۸). با به کار گیری روش آماری سطح پاسخ، معادله زیر که نشان دهنده ارتباط تجربی متغیرهای آزمایش و درصد راندمان به صورت کد گذاری شده است به دست آمد:

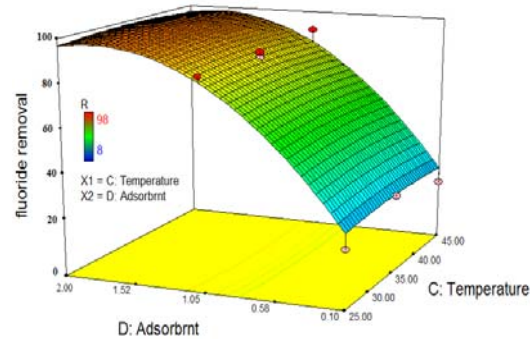
$$\begin{aligned} \text{Fluoride removal} = & +25/83 - 14/76 A + 12/34B + \\ & 3/87 C + 11/10 D - 10/10 E - 2/73 AB + 4/75 AC - \\ & 3/50 AD - 2/00 AE - 11/69 BC + 10/02 BD + 1/98 \\ & BE - 8/50 CD + 11/25CE + 2/50 DE + 16/90 \\ & A^2 + 10/66 B^2 + 7/15 C^2 + 0/90 D^2 + 8/73 E^2 \quad (6) \end{aligned}$$

جدول شماره ۲ نیز بررسی و مدل سازی آماری تاثیر پارامترهای مستقل و اثر متقابل آنها را بر روی حذف فلوراید نمایش می دهد.

۱-۳-۱/ نیزوترم و سینتیک جذب فلوراید در شرایط بهینه مقادیر پارامترهای مربوط به مدل های ایزووترم لانگمیر و فروندلیچ در جدول شماره ۳ مشاهده شده است. همانطور که در جدول شماره ۳ مشاهده می شود، ضریب همبستگی برای مدل لانگمیر بیشتر از مدل فروندلیچ می باشد. نتایج حاصل به وضوح نشان داد که فرایند جذب فلوراید به وسیله جاذب مورد مطالعه از ایزووترم لانگمیر پیروی کرده و حداکثر ظرفیت جذب بر مبنای این مدل برابر با $35/2 \text{ mg/g}$ می باشد.

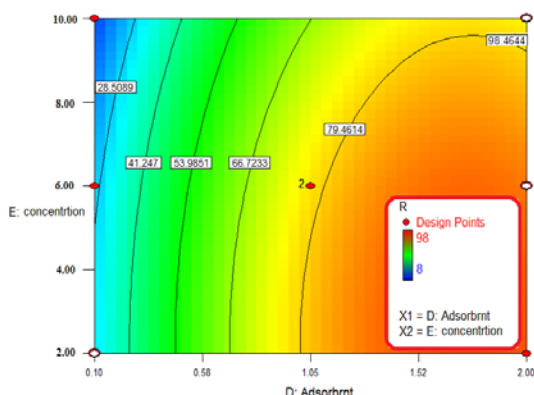
مقادیر به دست آمده از پارامترهای سینتیکی جذب فلوراید روی نانو کامپوزیت مغناطیسی کربن نانو لوله چند جداره و نانوذرات اکسید آهن در جدول شماره ۴ نمایش داده شده است. همان گونه که جدول شماره ۴ نشان می دهد سینتیک شبه درجه هماهنگی بسیار مناسبی با داده های مربوط به این مطالعه دارد.

۳-۹- ترمودینامیک جذب فلوراید در شرایط بهینه : نتایج حاصل از مطالعه ترمودینامیکی فرایند جذب فلوراید به وسیله MWCNT-Fe3O4 در جدول شماره ۵ ارایه شده است. مقادیر مربوط به پارامترهای ΔH° و ΔS° هر دو مثبت و مقادیر به دست آمده برای ΔG° منفی حاصل شده است.



تصویر شماره ۵: تاثیر دما و تاثیر غلظت های مختلف جاذب بر میزان حذف فلوراید در زمان ۱۲۰ دقیقه و pH برابر ۳

۳-۶- تاثیر غلظت های مختلف فلوراید در تصویر شماره ۶ نتایج مربوط به تاثیر غلظت های مختلف فلوراید بر روی بازدهی حذف این آلاینده توسط کربن نانو لوله چند جداره مغناطیسی شده تحت شرایط بهینه ارائه شده است. بر اساس تصویر مذکور بیشترین مقدار فلوراید حذف شده در غلظت ۲ میلی گرم در لیتر و کمترین آن در غلظت ۱۰ میلی گرم در لیتر حاصل شده است.



تصویر شماره ۶: تاثیر غلظت اولیه فلوراید بر کارایی حذف فلوراید با غلظت 2 mg/l ، توسط 2 gr/l جاذب، در زمان ۱۲۰ دقیقه و 3 pH

۳-۷- تجزیه و تحلیل آماری امروزه جهت طراحی و تحلیل آزمایشاتی که پاسخ مورد نظر تابعی از چندین متغیر می باشد از روش سطح پاسخ استفاده می شود. هدف از بکار گیری این روش بهینه نمودن پاسخ (در این مطالعه جذب فلوراید)

جدول شماره ۲: آنالیز واریانس برای مدل درجه دو حذف فلوراید مورد مطالعه

P-VALUE PROB > F	VALUE F	MEAN SQUARE	DF	SUM OF SQUARES	SOURCE
.0032	۳/۲۱۹۹۱	۷۵۳/۴۱۳	۲۰	۱۵۶۶/۸۲۰۷	MODEL
.0007	۱۴/۸۵۹۲۷	۳۴۷۶/۵۲۷	۱	۳۴۷۶/۵۲۷۱۴۸	A-PH
.0091	۷/۹۸۷۴۸۴	۱۸۶۸/۱۴۸	۱	۱۸۶۸/۱۴۷۹۴۸	B-TIME
.0032۱	۱/۲۱۳۷۴	۲۳۸/۹۶۴۳	۱	۲۳۸/۹۶۴۵۸۴	C-TEMPERATURE
.0077	۸/۴۱۴۲۶۵	۱۹۶۸/۶۳۱	۱	۱۹۶۸/۶۳۰۷۱	D-ADSORBENT DOSE
.0014۱	۹/۶۶۹۹۳۲	۱۶۳/۰۰۸	۱	۱۶۳/۰۰۷۷۵۹	E-FLUORIDE CONCENTRATION
.003۰۶	.۱/۰۷۶۴۹	۲۵/۱۸۵۶	۱	۲۵/۱۸۵۹۵۹۶	AB
.054۰۲	.۰/۳۸۵۷۴۴	۹۰/۲۵	۱	۹۰/۲۵	AC
.051۲	.۰/۲۰۹۴۳۴	۴۹	۱	۴۹	AD
.009۰۸	.۰/۶۳۷۸۷	۱۶	۱	۱۶	AE
.017۲۱	۱/۹۷۶۰۳۹	۴۶۲/۲۲۰۸	۱	۴۶۲/۲۲۰۸۴۹	BC
.023۹۵	۱/۴۵۲۰۳۸	۱۳۹/۷۲۳۹	۱	۱۳۹/۷۲۳۹۴۷۶	BD
.01۱۴۰	.۰/۰۵۶۲۱	۱۳/۲۲۳۹۵	۱	۱۳/۲۲۳۹۴۷۶	BE
.027۷۰	۱/۳۲۵۴۶	۲۸۹	۱	۲۸۹	CD
.015۳۸	۲/۱۶۷۷۹۹	۵۰۶/۲۵	۱	۵۰۶/۲۵	CE
.074۶۵	.۰/۱۰۶۸۵۴	۲۵	۱	۲۵	DE
.000۳۲	۱/۶۸۸۵۳	۲۴۶۱/۳۶۷	۱	۲۴۶۱/۳۶۷۴۲۴	A^2
.009۹۲	۲/۹۳۲۲۱۴	۶۸۶/۰۷۸	۱	۶۸۶/۰۷۷۷۸۶۱	B^2
.017۹۸	۱/۹۰۷۴۷۲	۴۴۵/۶۴۰۲	۱	۴۴۵/۶۴۰۱۵۱۵	C^2
.018۶۰	.۰/۰۲۹۹۳۵	۷/۰۰۳۷۸۸	۱	۷/۰۰۳۷۸۷۸۷۹	D^2
.010۴۳	۲/۸۴۲۲۴	۶۶۵/۰۰۳۸	۱	۶۶۵/۰۰۳۷۸۷۹	E^2
		۲۳۳/۹۶۴۵	۲۵	۵۸۴۹/۰۶۹۷	RESIDUAL
.006۱	۱۱/۸۵۱۵۶	۲۸۶/۴۱۷۷	۲۰	۵۷۲۸/۲۵۳۶۳۶	LACK OF FIT
		۲۴/۱۶۶۶۷	۵	۱۲۰/۸۳۳۳۳۳	PURE ERROR
			۴۵	۲۰۹۱۵/۹۱۳۰۴	COR TOTAL

۱۰-۳- حذف فلوراید در شرایط بهینه شده به منظور تعیین توانایی واقعی جاذب سنتز شده، عملکرد آن در حذف فلوراید تحت شرایط بهینه شده در مراحل قبل مورد بررسی قرار گرفت. برای این منظور آب مقطر با مقدار معینی از سدیم فلوراید مخلوط شده تا ۱۰۰ میلی لیتر محلول ۴ میلی گرم بر لیتر ساخته شود. سپس مقدار جذب حذف شرایط بهینه (زمان تماس ۱۲۰ دقیقه، $pH = ۳$ و دوز جاذب ۲ میلی گرم) اندازه گیری شد. نتایج حاصل نشان داد که محتوای فلوراید از ۴ میلی گرم بر لیتر به 0.03 میلی گرم بر لیتر کاهش یافته و راندمانی معادل $98/5$ درصد حاصل شده است. این موضوع بیانگر آن است که جاذب سنتز شده به سادگی توانایی رساندن غلاظت ۴ میلی گرم بر لیتر فلوراید را به کمتر از حداکثر مجاز و استاندارد های تعیین شده دارد.

بحث

۴- اثر H^- محلول

جذب فلوراید توسط کربن نانو لوله چند جداره مغناطیسی شده با اکسید آهن در $pH = ۳$ حداکثر و در

جدول شماره ۳: مقادیر پارامترهای ایزوترومی و فروندلیچ برای جذب فلوراید روی کربن نانو لوله چند جداره مغناطیسی شده با آهن

R^2	ایزوتروم های		جذب
	ثابت های ایزوترومی	مقادیر ثابت های ایزوترومی	
.0/۲۹		KL	
.0/۹۸	۳۵/۲	q_{max}	لانگمیر
	.۰/۲۱۰۰/۴۱	RI	
.0/۷۸	۳/۵۱	K_f	فروندلیچ
	.۰/۰۱	n	

جدول شماره ۴: پارامترهای سیستیکی برای جذب فلوراید روی نانو کامپوزیت مغناطیسی کربن نانو لوله چند جداره و نانو ذرات اکسید آهن

مدل سیستیکی	غلظت اولیه				
	شیه درجه دوم	شیه درجه اول		q_{exp}	فلوراید (mg/l)
R_2	$K_2 (g/mgm\min)$	$q_{exp} (mg/g)$	R_2	$K_1 (min^{-1})$	$q_{exp} (mg/g)$
.0/۹۴۱	.۰/۰۵	۲۳/۴۱	.۰/۷۶۳	.۰/۱۳۳	۱۱/۲۳
.0/۹۸۴	.۰/۰۸۱	۴۲/۹۳	.۰/۸۳۲	.۰/۷۸	۲۹/۹۸
.0/۹۹۵	.۰/۰۹۹	۵۱/۴۹	.۰/۸۹۴	.۰/۱۲۳	۳۲/۶۷
					۴۹/۸۷

جدول شماره ۵: مقادیر پارامترهای ترمودینامیکی جذب فلوراید در شرایط بهینه

$\Delta S^\circ (J/mol.K)$	$\Delta H^\circ (kJ/mol)$	$\Delta G^\circ (kJ/mol)$	$In k_c$	$(^\circ K)$
			.۰/۳۹۷-	.۰/۱۲۰
			.۰/۵۱۱-	.۰/۵۶
.۰/۱۵۳		.۳۳/۴۱		.۰/۷۷۲-
				.۰/۷۳
				.۰/۹۵۹-
			.۰/۰۱	.۳۱۳

۴-۳ اثر دوز جاذب

نتایج بررسی تاثیر مقادیر مختلف کربن نانو لوله چند جداره مغناطیسی شده با اکسید آهن در جذب فلوراید نشان داد که بیشترین میزان حذف این آلاینده در دوز جاذب $L/2\text{gr}$ رخ داده است. افزایش دوز جاذب با افزایش بازدهی جذب فلوراید همراه است. علت این موضوع افزایش مکان‌های آزاد جذب فلوراید روی سطح جاذب با افزایش میزان دوز جاذب از $5/2\text{ gr/L}$ است، این موضوع متعاقباً امکان دسترسی مولکول‌های فلوراید به جایگاه‌های فعال موجود در سطح جاذب را افزایش می‌دهد. در مجموع می‌توان گفت مقدار جاذب، یکی از پارامترهای مؤثر در افزایش راندمان جذب است چرا که با افزایش مقدار جاذب، سطح موجود برای جذب تبدیلی که در اختیار ماده جذب شونده قرار می‌گیرد، افزایش می‌یابد.

۴-۴ تاثیر غلظت‌های مختلف فلوراید

غلظت اولیه آلاینده از دیگر پارامترهای مهم تاثیر گذار در فرایند جذب می‌باشد. بررسی تغییرات غلظت اولیه یون‌های فلوراید مشخص نمود که با افزایش غلظت آلاینده، میزان جذب کاهش یافته است. با افزایش غلظت فلوراید از 2 mg/L راندمان جذب به شکل قابل ملاحظه‌ای کاهشی یابد. بیشترین میزان جذب در غلظت اولیه آلاینده 2 میلیگرم بر لیتر حاصل شد. ثابت بودن تعداد جایگاه‌های فعال جاذب در برابر افزایش میزان یون‌های فلوراید علت اصلی کاهش راندمان در برابر افزایش غلظت آلاینده می‌باشد. به عبارت دیگر، اشباع شدن جایگاه‌های فعال جاذب و به دنبال آن کاهش سطح جذب در مقابل افزایش میزان غلظت فلوراید، علت اصلی کاهش راندمان می‌باشد) (۳۴) مطالعه‌ای که در سال ۲۰۱۱ در مورد حذف فلوراید توسط باگاس اصلاح شده انجام شد نیز نشان داد که با افزایش میزان آلاینده راندمان کاهش یافت که با نتایج این مطالعه هم خوانی دارد (۳۵).

pH=۹ حداقل می‌باشد، بنابراین pH بهینه در این مطالعه برابر ۳ انتخاب شد. با کاهش pH تعداد پروتون‌ها (H^+) موجود افزایش می‌یابد، این پروتون‌ها توانایی اضافه شدن به سطح جاذب را دارند و سبب القای بار مثبت به آن می‌شود. از آنجایی که باز فلوراید منفی می‌باشد، نیروی جاذبه الکتروستاتیکی بین جاذب و فلوراید به وجود می‌آید و باعث می‌شود فلوراید بیشتری توسط جاذب در محیط اسیدی جذب شود. در محیط بازی، شارژ منفی (OH^-) تزدیک به سطح جاذب، باعث دفع الکتروستاتیکی فلوراید شده و متعاقباً راندمان حذف Wajima کاهش می‌یابد (۳۰، ۲۹). بررسی‌هایی مشابهی توسط Alagumuthu (۲۰۱۰) و (۲۰۰۶) در حذف فلوراید انجام شد و آن‌ها گزارش نمودند که بیشترین راندمان حذف فلوراید در pH‌های اسیدی رخ داده است (۳۱، ۳۲).

۴-۵ اثر زمان تماس

در مطالعه حاضر جذب فلوراید در بازه زمانی بین صفر تا ۱۲۰ دقیقه مورد بررسی قرار گرفت. مشاهده شد که با افزایش زمان تماس راندمان حذف به میزان قابل ملاحظه‌ای افزایش می‌یابد. در این مطالعه بیشترین راندمان حذف در زمان ۱۲۰ دقیقه رخ داد. علت افزایش راندمان با افزایش زمان این واقعیت است که افزایش زمان تماس سبب می‌شود یون‌های فلوراید بیشتری با جاذب بخورد کرده و جذب شوند. در مطالعه‌ای که توسط Tomar و همکاران (۲۰۱۳) بر روی جذب فلوراید با استفاده از مواد کامپوزیت روی-منگنز انجام گرفت گزارش شد که بیشترین راندمان حذف فلوراید در زمان تماس ۱۴۵ دقیقه روی می‌دهد (۳۳).

۴-۶ تاثیر دما

تاثیر دمای مختلف بر فرایند جذب فلوراید در شرایط بهینه شده نشان داد که بیشترین جذب در دمای ۴۵ درجه سلسیوس رخ می‌دهد. احلال پذیری یون فلوراید در دمای‌های بالاتر می‌تواند دلیل برای افزایش راندمان با افزایش دما باشد.

دادند و ایزوترم لانگمیر را به عنوان مدل مناسبی برای فرآیند جذب فلوراید معرفی کردند(۱۵، ۳۷). ضریب رگرسیون در مدل سیتیکی شبه درجه دوم بسیار بیشتر از مدل شبه درجه اول و برابر با ۰/۹۹۵ می‌باشد. در مطالعه‌ای که توسط Wei Ma و همکاران در سال ۲۰۰۷ صورت گرفته به این نتیجه رسیدند که حذف فلوراید توسط کیتوزان مگتیک با ضریب رگرسیون ۰/۹۹۷ از سیتیک درجه دو پیروی می‌کند(۳۸).

۴-۱- ترمودینامیک جذب فلوراید در شرایط بهینه پارامترهای کمی بدست آمده در مورد ترمودینامیک نشان داده شده است. براساس نتایج مقادیر آنتالپی استاندارد(ΔH°) و آنتروپی استاندارد (ΔS°) مثبت و میزان انرژی آزاد گیبس (ΔG°) منفی است. مثبت بودن میزان آنتالپی نشان دهنده گرمائی بودن فرایند جذب فلوراید توسط جاذب سنتز شده است. به عبارت دیگر مثبت بودن این پارامتر بیان می‌کند افزایش دما تاثیر مثبتی بر جذب فلوراید داشته و جذب این آلینده در دمای بالاتر مساعدتر می‌باشد. مثبت بودن میزان پارامتر آنتالپی نیز گویای این موضوع است که افزایش دما در طول فرایند جذب، سبب افزایش راندمان در فاز مشترک جامد و مایع می‌شود. اما مقادیر منفی بدست آمده برای انرژی آزاد گیبس نشان دهنده خود به خودی بودن فرایند جذب فلوراید توسط کربن نانوله چند جداره بهینه شده با نانو ذرات اکسید آهن می‌باشد. در مطالعه فرایند جذب فلوراید بر روی دانه‌های کیتوزان و Natrayasamy Viswanathan پروتوتئینه شده توسط همکاران در سال ۲۰۰۹ مقادیر ΔH° و ΔS° مثبت و مقدار ΔG° منفی حاصل گردید که نشان دهنده خود به خودی و گرمائی بودن فرایند جذب می‌باشد و با مطالعه حاضر کاملاً تطابق دارد(۳۹).

در پایان می‌توان نتیجه گیری کرد که هدف از این مطالعه، بررسی کارایی کربن نانوله چند جداره مغناطیسی شده با اکسید آهن جهت حذف فلوراید از

۴-۶- تعزیری و تحلیل آماری

در قسمت تجزیه و تحلیل آماری A برابر pH نمونه، B برابر زمان تماس، C برابر دما، D برابر با دوز جاذب و E برابر با غلظت اولیه فلوراید می‌باشد. با توجه به جدول شماره ۲ می‌توان دریافت که مقدار پارامتر P برای مدل مورد مطالعه کوچک‌تر از $0/003$ می‌باشد، P value به این معنا که برسی جذب فلوراید توسط کربن نانوله چند جداره مغناطیسی شده با نانو ذرات اکسید آهن به خوبی توسط مدل مورد مطالعه قابل توصیف است. به توجه به معادله شماره ۷ می‌توان دریافت که فاکتورهای A و E دارای تاثیر منفی در راندمان جذب بود در حالی که پارامترهای B، C و D اثر مثبتی بر فرایند جذب دارند. علامت منفی در معادله حاصل به معنی افزایش راندمان با کاهش آن پارامتر بوده و علامت مثبت در معادله بیانگر رابطه مستقیم بین راندمان و پارامتر مورد مطالعه است.

۴-۷- ایزوترم و سیتیک جذب فلوراید

ضریب همبستگی برای مدل فرون diligij ($R^2 > 0/78$) کمتر از مقدار به دست آمده آن برای مدل لانگمیر ($R^2 > 0/98$) می‌باشد و این نشان می‌دهد که فرایند جذب بر مبنای ضریب همبستگی از مدل لانگمیر تبعیت می‌کند. در مطالعه حاضر حداکثر ظرفیت جذب بر مبنای مدل لانگمیر برابر با $25/2 \text{ mg/g}$ حاصل شد در حالی که مقادیر این پارامتر در مطالعه باقری و همکاران پیرامون جذب فلوراید توسط آلومینای فعال اصلاح شده با ترکیباتی آهنی $8/23 \text{ mg/g}$ گزارش شده است، بنابراین می‌توان نتیجه گرفت که جاذب سنتز شده در تحقیق حاضر نسبت به آلومینای فعال اصلاح شده با ترکیباتی آهنی استفاده شده در مطالعه باقری و همکاران از کارایی بهتری برخوردار بوده است(۳۶).

Viswanathan و همکاران در سال ۲۰۰۴ و Onyango و همکاران در سال ۲۰۰۹ در بررسی‌های خود جذب فلوراید را توسط زئولیت و کیتوزان مورد مطالعه قرار

جذب مشاهده گردید که فرایند جذب فلوراید اندوترمیک (گرم‌گیر) و خودبه خودی بوده است. در مجموع می‌توان اذعان داشت جاذب سنتز شده به دلیل راندمان مناسب در حذف فلوراید و جداسازی آسان و سریع به وسیله آهنربا، می‌تواند به عنوان یک جاذب موثر برای حذف فلوراید استفاده گردد. هم‌چنین این مطالعه بیانگر این موضوع بود با افزایش مقدار جاذب، زمان تماس و دما راندمان افزایش می‌یابد. جاذب مورد مطالعه در pH اسیدی کارایی مناسب‌تری در حذف فلوراید نشان داد و با کاهش غلظت اولیه آلاند مقدار راندمان افزایش می‌یابد. مطالعات تعادلی و سیتیکی جذب فلوراید روی نانو ذرات مغناطیسی اکسید آهن - کربن نانو لوله چند جداره به ترتیب با مدل‌های لانگمیر و سیتیک شبیه درجه دوم تناسب داشته است. در بررسی ترمودینامیک

محلول‌های آبی می‌باشد. نتایج به دست آمده از این مطالعه نشان می‌دهد که جاذب سنتز شده به دلیل راندمان بالای حذف، ظرفیت جذب بالا و ارزان بودن می‌تواند به عنوان یک جاذب موثر برای حذف فلوراید استفاده گردد. هم‌چنین این مطالعه بیانگر این موضوع بود با افزایش مقدار جاذب، زمان تماس و دما راندمان افزایش می‌یابد. جاذب مورد مطالعه در pH اسیدی کارایی مناسب‌تری در حذف فلوراید نشان داد و با کاهش غلظت اولیه آلاند مقدار راندمان افزایش می‌یابد. مطالعات تعادلی و سیتیکی جذب فلوراید روی نانو ذرات مغناطیسی اکسید آهن - کربن نانو لوله چند جداره به ترتیب با مدل‌های لانگمیر و سیتیک شبیه درجه دوم تناسب داشته است. در بررسی ترمودینامیک

سپاسگزاری

بدین‌وسیله از حمایت‌های مالی و معنوی دانشگاه علوم پزشکی ایران و ستاد توسعه فناوری نانو ریاست جمهوری برای انجام طرح تحقیقاتی با کد ۲۴۶۵۹ تشكر و قدردانی به عمل می‌آید.

References

1. Greenwood N N, Earnshaw A. Chemistry of the Elements. Oxford, England Pergamon: Press Ltd; 1985.
2. World Health Organization. Guidelines for Drinking-Water Quality [Electronic Resource]: Incorporating First Addendum, 3 rd ed. WHO Org, Geneva. 2006: p. 375-377.
3. Abe I, Iwasaki S, Tokimoto T, Kawasaki N, Nakamura T, Tanada S. Adsorption of fluoride ions onto carbonaceous materials. J colloid Interface Sci 2004; 275(1): 35-39.
4. Banks D, Reiman C, Røyset O, Skarphagen H, Sæther OM. Natural concentrations of major and trace elements in some Norwegian bedrock groundwaters. Applied Geochemistry 1995; 10(1): 1-16.
5. Tripathy SS, Bersillon JL, Gopal K. Removal of fluoride from drinking water by adsorption onto alumimpregnated activated alumina. Separation and Purification Technology 2006; 50(3): 310-317.
6. World Health Organization. Guidelines for Drinking-water Quality rE, Vol. 1 (Recommendations), World Health Organization, Geneva 2008.
7. Mahramanlioglu M, Kizilcikli I, Bicer IO. Adsorption of fluoride from aqueous solution by acid treated spent bleaching earth. J Fluorine Chem 2002; 115: 41-47.
8. Zazouli MA, Alam Gholilou M. Survey of chemical quality (Nitrate, Flouride, Hardness, Electrical Conductivity) of drikning water in Khoy city. J Mazand Univ Med Sci 2013; 23(Suppl-2): 80-84.
9. Chinoy NJ. Effects of fluoride on physiology of animals and human beings. Indian J Environ Toxicol 1999; 1(1): 17-32.
10. Harrison PTC. Fluoride in water: a UK perspective. J Fluorine Chem 2005; 126 (11-12): 1448-1456.
11. Islam M, Patel RK. Thermal activation of basic oxygen furnace slag and evaluation of its fluoride removal efficiency. Chem Eng J 2011; 169(1-3): 68-77.
12. Ramavandi B, Ahmadi M, Faradmal J, maleki S, Asgari G. Optimization of Fluoride

- Adsorption from Aqueous Solution by Marble Powder Using Taguchi Model. J Mazandaran Univ Med Sci 2014; 24(115): 121-130 (Persian).
13. Zhou Y, Yu C, ShanY. Adsorption of fluoride from aqueous solution on La³⁺ impregnated crosslinked gelatin, Sep Purif Technol 2004; 36(2): 89-94.
14. Tang Y, Guan X, Su T, Gao N, Wang J. Fluoride adsorption onto activated alumina: Modeling the effects of pH and some competing ions. Colloids and Surfaces A: Physicochem. Colloids And Surfaces A (Physicochemical And Engineering Aspects) 2009; 337(1-3): 33-38.
15. Viswanathan N, Sundaram C, Meenakshi S. Removal of fluoride from aqueous solution using protonated chitosan beads. J Hazardous Materials 2009; 161(1): 423-430.
16. Zuo Q, Chen X, Li W, Chen G. Combined electrocoagulation and electroflotation for removal of fluoride from drinking water. J Hazardous Materials 2008; 159(2-3): 452-457.
17. Onyango MS, Kojima Y, Aoyi O, Bernardo EC, Matsuda H. Adsorption equilibrium modeling and solution chemistry dependence of fluoride removal from water by trivalent-cation-exchanged zeolite F-9. J Colloid Interface Sci 2004; 279(2): 341-350.
18. Mohapatra M, Anand S, Mishra BK, Giles DE, Singh P. Review of fluoride removal from drinking water. J Environ Manage 2009; 91(1): 67-77.
19. Miretzky P, Cirelli AF. Fluoride removal from water by chitosan derivatives and composites: A review. J Fluorine Chem 2011; 132(4) : 231-240.
20. Fuqiang A, Feng X, Gao B. Adsorption of aniline from aqueous solution using novel adsorbent PAM /SiO₂. Chemical Engineering J 2009; 151(1-3): 183-187.
21. Sahu JN, Acharya J, Meikap BC. Response surface modeling and optimization of chromium (VI) removal from aqueous solution using Tamarind wood activated carbon in batch process. J Hazard Mater 2009; 172(2-3): 818-825.
22. Kakavandi B, Jonidi AJ, Rezaei RK, Nasseri S, Ameri A, Esrafily A. Synthesis and properties of FeO-activated carbon magnetic nanoparticles for removal of aniline from aqueous solution: equilibrium, kinetic and thermodynamic studies. Iranian J Environ Health Sci Eng 2013; 10(1): 19.
23. Zazouli MA, Belarak D, Karimnezhad F, Khosravi F. Removal of Fluoride from Aqueous Solution by Using of Adsorption onto Modified Lemna Minor: Adsorption Isotherm and Kinetics Study. J Mazand Univ Med Sci 2014; 23(109): 195-204.
24. Kuleyin A. Removal of phenol and 4-chlorophenol by surfactant-modified natural zeolite. J Hazardous Materials 2007; 144(1-2): 307-315.
25. Larous S, Meniai A-H. The use of sawdust as by product adsorbent of organic pollutant from wastewater: adsorption of phenol. Energy Procedia 2012; 18: 905-914.
26. Zazouli MA, Veisi F, Veisi A. Modeling Bisphenol A Removal from Aqueous Solution by Activated Carbon and Eggshell. J Mazandaran Univ Med Sci 2013(23): 129-138 (Persian).
27. Yetilmezsoy K, Demirel S, Vanderbei RJ. Response surface modeling of Pb(II) removal from aqueous solution by Pistacia vera L.: Box-Behnken experimental design. J Hazard Mater 2009; 171(1-3): 551-562.

-
28. Azari A, Gholami M, Torkshavand Z, Yari AR, Ahmadi EBK. Evaluation of Basic Violet 16 Adsorption from Aqueous Solution by Magnetic Zero Valent Iron-activated Carbon Nanocomposite using Response Surface Method: Isotherm and Kinetic Studies. *J Mazandaran Univ Med Sci*. 2015; 25(121): 333-347 (Persian).
29. Nassar NN. Rapid removal and recovery of Pb(II) from wastewater by magnetic nanoadsorbents. *J Hazard Mater* 2010; 184(1-3): 538-546.
30. Gutierrez-Muniz OE, Garcia-Rosales G, Ordóñez-Regil E, Olguín MT, Cabral-Prieto A. Synthesis, characterization and adsorptive properties of carbon with iron nanoparticles and iron carbide for the removal of As(V) from water. *J Environ Manage* 2013; 114: 1-7.
31. Wajima T, Umeta Y, Narita S, Sugawara K. Adsorption behavior of fluoride ions using a titanium hydroxide-derived adsorbent. *Desalination* 2009; 249(1): 323-330.
32. Alagumuthu G, Rajan M. Equilibrium and kinetics of adsorption of fluoride onto zirconium impregnated cashew nut shell carbon. *Chemical Engineering* 2010; 158(3): 451-457.
33. Tomar V, Prasad S, Kumar D. Adsorptive removal of fluoride from water samples using Zr-Mn composite material. *Microchemical Journal* 2013; 111: 116-124.
34. Meshko V, Markovska L, Mincheva M, Rodrigues AE. Adsorption of basic dyes on granular activated carbon and natural zeolite. *Water Res* 2001; 35(14): 3357-3366.
35. Jorfi S, Kalantary R, Mohseni Bandpi A, Jaafarzadeh Haghifard N, Esrafili A, Alaei L. Fluoride Removal from Water By Adsorption using Bagasse, Modified Bagasse and Chitosan. *Iran J Health Environ* 2011; 4(1): 11-19.
36. Bagheri Ardabilian P, Mohammadi M, Sharifyan A. Removal of Fluoride from Water Using an Activated Alumina Modified with Iron Compounds. *J Civil and Environmental Engineering* 2014; 43(4).
37. Onyango MS, Kojima Y, Aoyi O, Bernardo E, Matsuda H. Adsorption equilibrium modeling and solution chemistry dependence of fluoride removal from water by trivalent-cation-exchanged zeolite F-9. *J Colloid Interface Sci* 2004; 279(2): 341-350.
38. Ma W, Ya F-Q, Han M, Wang R. Characteristics of equilibrium, kinetics studies for adsorption of fluoride on magnetic-chitosan particle. *J Hazard Mater* 2007; 143(1-2): 296-302.
39. Viswanathan N, Sairam Sundaram C, Meenakshi S. Development of multifunctional chitosan beads for fluoride removal. *J Hazard Mater* 2009; 167(1-3): 325-331.